

Parno turbinsko postrojenje na drvnu biomasu za proizvodnju električne i toplinske energije

Hrastić, Mihael

Undergraduate thesis / Završni rad

2024

Degree Grantor / Ustanova koja je dodijelila akademski / stručni stupanj: **University of Rijeka, Faculty of Engineering / Sveučilište u Rijeci, Tehnički fakultet**

Permanent link / Trajna poveznica: <https://urn.nsk.hr/um:nbn:hr:190:381836>

Rights / Prava: [Attribution 4.0 International/Imenovanje 4.0 međunarodna](#)

Download date / Datum preuzimanja: **2024-09-01**



Repository / Repozitorij:

[Repository of the University of Rijeka, Faculty of Engineering](#)



SVEUČILIŠTE U RIJECI

TEHNIČKI FAKULTET

Prijediplomski sveučilišni studij strojarstva

Završni rad

**PARNO TURBINSKO POSTROJENJE NA DRVNU BIOMASU ZA
PROIZVODNJU ELEKTRIČNE I TOPLINSKE ENERGIJE**

Mentor: Izv. prof. dr. sc. Igor Bonefačić

Rijeka, srpanj 2024.

Mihael Hrastić

0069090085

Rijeka, 07.03.2024.

Zavod: Zavod za termodinamiku i energetiku
Predmet: Energetski sustavi

ZADATAK ZA ZAVRŠNI RAD

Pristupnik: **Mihail Hrastić (0069090085)**
Studij: Sveučilišni prijediplomski studij strojarstva (1010)

Zadatak: **Parno turbinsko postrojenje na drvnu biomasu za proizvodnju električne i toplinske energije / Combined heat and power plant on woody biomass with Steam turbine**

Opis zadatka:

Potrebno je izraditi tehničko rješenje kogeneracijskog energetskog postrojenja s kondenzacijskom parnom turbinom na drvnu biomasu na području Gorskog kotra, koje će proizvoditi 3 MW električne i 10 MW toplinske energije. Toplinski izvor je generator pare radnog tlaka pare 30 bar i temperature 300°C. Za zadane uvjete treba izraditi koncept postrojenja s toplinskom shemom i proračunom energetske bilance, izbor, proračun i opis glavne opreme te proračun potrošnje goriva (drvne biomase).

Rad mora biti napisan prema Uputama za pisanja diplomskih / završnih radova koje su objavljene na mrežnim stranicama studija.

Zadatak uručen pristupniku: 20.03.2024.

Mentor:
izv. prof. dr. sc. Igor Bonefačić

Predsjednik povjerenstva za
završni ispit:
izv. prof. dr. sc. Samir Žic

Komentor:
izv. prof. dr. sc. Vladimir Glažar

IZJAVA

Izjavljujem da sam završni rad izradio samostalno uz usmjerenje mentora izv. prof. dr. sc. Igora Bonefačića, vodeći se uputama pisanja završnog rada te navedene literature i znanjem stečenim na prijediplomskom studiju.

Rijeka, srpanj 2024.

Mihael Hrastić

ZAHVALA

Zahvaljujem se svim profesorima tijekom studiranja, a posebnu zahvalu upućujem svom mentoru, izv. prof. dr. sc. Igoru Bonefačiću, koji mi je pomagao, usmjeravao me prema pravom smjeru i utrošio svoje vrijeme za izradu ovog završnog rada.

SADRŽAJ

1. UVOD	1
2. KOGENERACIJSKO POSTROJENJE.....	2
3. IDEJNO RJEŠENJE SUSTAVA	5
4. PRORAČUN KOGENERACIJSKOG POSTROJENJA.....	6
4.1. Parametri stanja fluida u postrojenju	8
4.2. Proračun toplinske bilance.....	15
4.3. Ukupna iskoristivost postrojenja	18
5. PRORAČUN POTROŠNJE DRVNE BIOMASE	20
5.1. Kemijski sastav goriva.....	20
5.2. Donja ogrjevna moć goriva	22
5.3. Potrošnja goriva.....	24
5.4. Proračun emisija izgaranja drvne biomase	25
6. IZBOR I OPIS GLAVNE OPREME	28
6.1. Generator pare	28
6.2. Parna turbina.....	29
6.3. Kondenzator.....	30
6.4. Izmjenjivač topline za potrošnju.....	34
6.5. Otplinjač	34
7. ZAKLJUČAK	36
LITERATURA	37
POPIS SLIKA	38
POPIS TABLICA	39
POPIS OZNAKA	40
SAŽETAK	47
SUMMARY	48

1. UVOD

Tema završnog rada je izraditi tehničko rješenje kogeneracijskog energetskog postrojenja s kondenzacijskom parnom turbinom na području Gorskog kotara koja kao gorivo koristi drvnu biomasu. Zadatak uključuje izradu koncepta postrojenja s toplinskom shemom i proračunavanje energetskih bilanci za cijeli sustav. Također je potrebno izabrati, proračunati i opisati glavnu opremu te proračunati potrošnju drvne biomase kao gorivo.

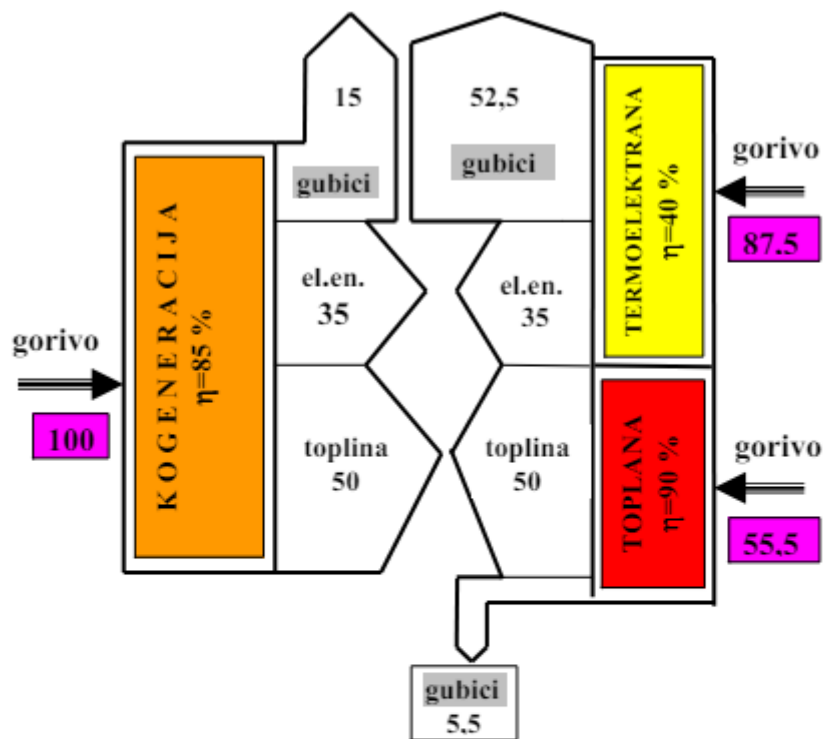
U današnjem svijetu sve se više okrećemo prema obnovljivim energetskim izvorima. Fosilna goriva, kao što su nafta, ugljen i zemni plin, svojim nepovoljnim utjecajem na okoliš, ograničenim resursima i visokom cijenom glavni su razlozi zašto sve više težimo prema obnovljivim izvorima energije.

Povišenjem cijena primarne energije teži se prema sve učinkovitijim načinima proizvodnje energije. Kogeneracijski energetski sustav upravo je jedan od tih načina jer se istovremeno proizvodi toplinska i električna energija iz istog energenta.

Drvna biomasa nije samo obnovljivi izvor energije, već ima i niski štetni utjecaj na okoliš. Rastom šuma, tijekom korištenja drvne biomase, ne dolazi do dodatnih emisija ugljičnog dioksida jer se on procesom fotosinteze apsorbira. Povećanjem cijena fosilnih goriva drvna biomasa mogla bi postati jedan od glavnih izvora energije. Hrvatska, svojim bogatim šumskim područjima, ima visok potencijal za korištenje drvne biomase.

2. KOGENERACIJSKO POSTROJENJE

Kogeneracijski energetski sustav ili kogeneracija je suproizvodnja električne i toplinske energije radi smanjenja gubitaka topline koji se nepovratno gube u okolinu. Toplina koja se proizvede u kogeneracijskom postrojenju najčešće se koristi za grijanje naselja, ali može se koristiti za tehnološke potrebe vlastite ili neke druge industrije. Kogeneracijsko postrojenje, za istu količinu goriva, ima 30 % veću učinkovitost od odvojene proizvodnje toplinske i električne energije te ima pozitivni učinak na emisiju stakleničkih plinova.



- Razlika potrošnje goriva = $(87,5 + 55,5) - 100 = 43\%$
- Relativna ušteda goriva = $\frac{(87,5 + 55,5) - 100}{87,5 + 55,5} \cdot 100 = 30\%$
- Gubici kogeneracije = 15 (15 %)
- Gubici odvojene proizvodnje = 58 (40,5 %)

Slika 2.1. Usporedba odvojene proizvodnje energije i kogeneracije [1]

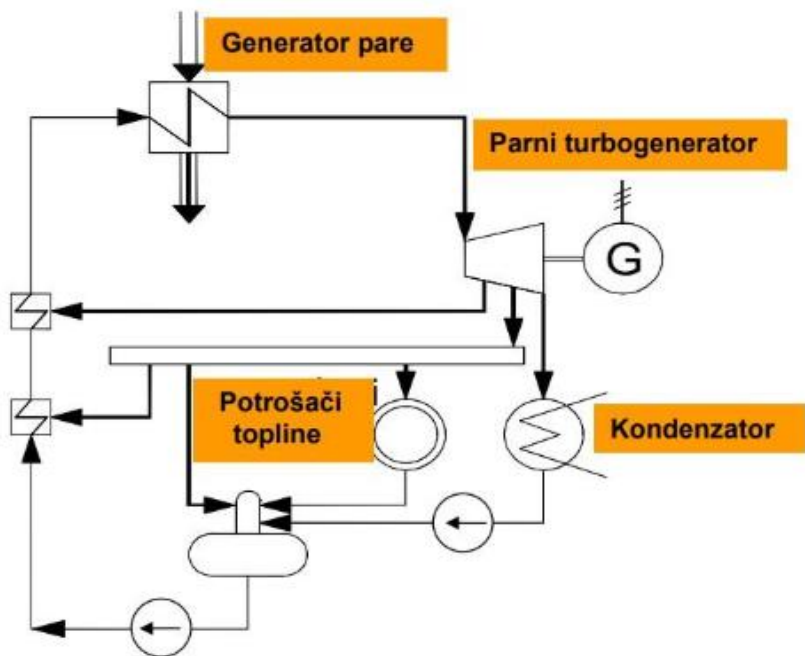
Sukladno tome kogeneracijska postrojenja su ekonomičnija, sigurnija su i fleksibilnija te smanjuju emisiju ugljikovog dioksida. Negativna strana kogeneracijskih postrojenja su visoka početna ulaganja, ali su dugoročno isplativija.

Dizel, benzin, prirodni plin, biogorivo i ugljen su vrste goriva koja se mogu koristiti kod kogeneracijskih postrojenja. Najčešće vrste kogeneracijskih postrojenja su:

- kogeneracijski sustavi s parnom turbinom
- kogeneracijski sustavi s plinskom turbinom
- kogeneracijski sustavi s motorom s unutrašnjim izgaranjem
- integrirani kogeneracijski sustavi
- kogeneracijski sustavi s gorivim čelijama
- kogeneracijski sustavi s magnetohidrodinamskim generatorom.

Kogeneracijski sustavi s parnom turbinom mogu biti s protutlačnom turbinom ili s kondenzacijskom turbinom uz oduzimanje pare. Najviše se koriste kogeneracijski sustavi s protutlačnom turbinom zbog njene visoke iskoristivosti i relativno malih troškova ulaganja.

Prema zadanim uvjetima u zadatku za ovo postrojenje usvojen je kogeneracijski sustav s kondenzacijskom turbinom uz regulirano oduzimanje pare. Kod ovog tipa kogeneracijskog sustava, dio pare se oduzima i preusmjerava potrošačima topline, dok ostatak pare ekspandira.



Slika 2.2. Shema kogeneracijskog sustava s kondenzacijskom turbinom uz oduzimanje pare [1]

3. IDEJNO RJEŠENJE SUSTAVA

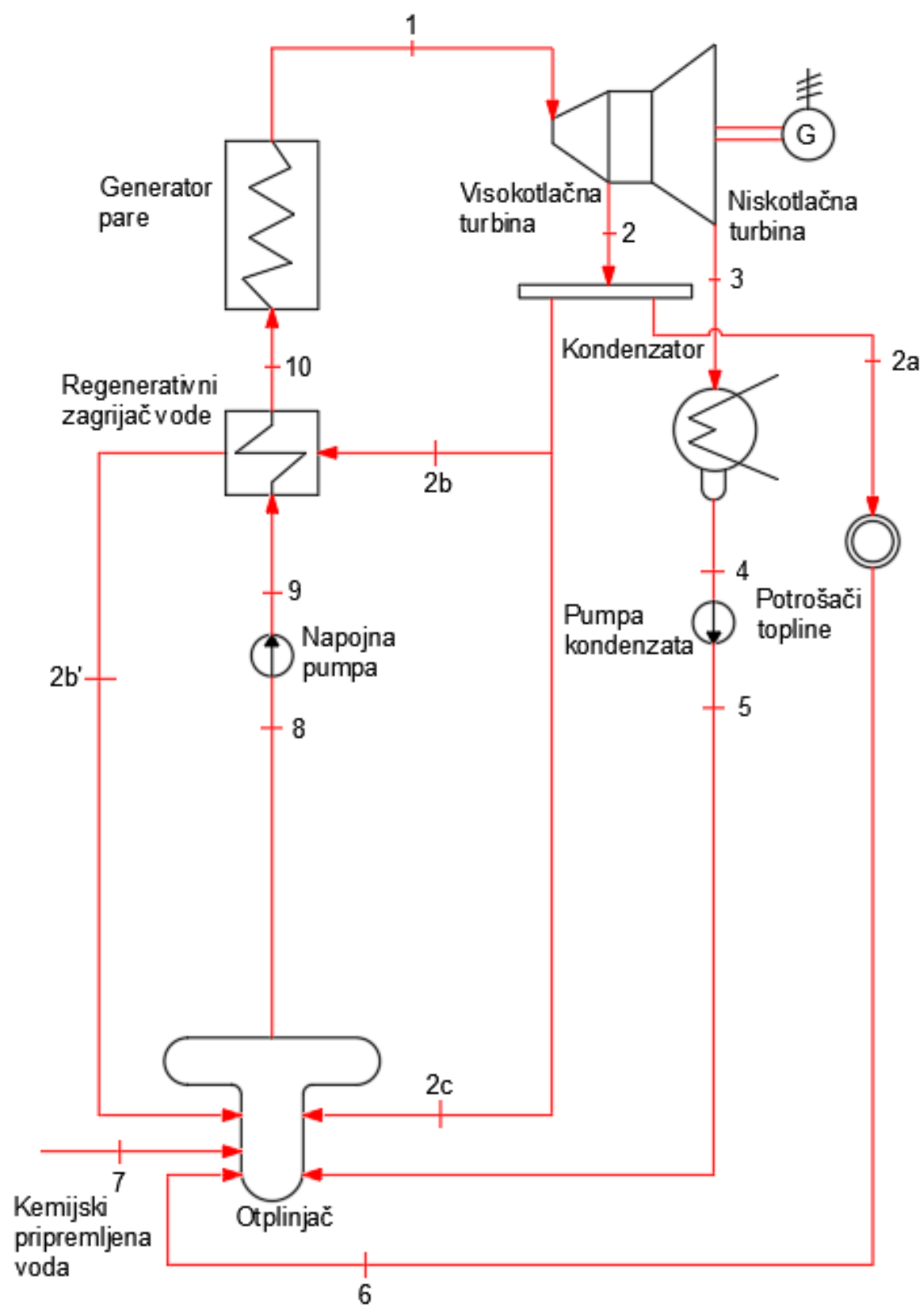
Prema zadanom zadatku, idejno rješenje položaja kogeneracijskog postrojenja nadrvnu biomasu treba biti na prostoru Gorskog kotara. Grad Delnice je najveći grad na ovom području te se zbog relativno dobrog položaja i razvijene drvne industrije čini kao optimalno rješenje kao lokacija za izgradnju kogeneracijskog postrojenja nadrvnu biomasu. U blizini Delnice, točnije u Fužinama, nalazi se najveća hrvatska drvna industrija Drvenjača d.d. te se također blizu nalazi pilana Mrkopalj. Grad Delnice također je smješten pokraj autoceste Zagreb-Rijeka te je time moguć brzi transport biomase do postrojenja.

4. PRORAČUN KOGENERACIJSKOG POSTROJENJA

Za veličine koje su zadane potrebno je odrediti idejno rješenje kogeneracijskog postrojenja. Zadani su tlak i temperatura pregrijane pare koju moramo proizvesti u generatoru pare koji iznose $p_1 = 30$ bar i $\theta_1 = 300^\circ\text{C}$. Također zadane su snaga električne energije koje je potrebno osigurati u iznosu od $P_e = 3 \text{ MW}$ te potreba za toplinskom energijom koja iznosi $\Phi_{ts} = 10 \text{ MW}$. Ostale podatke, kao što je entalpija, po određenim dijelovima postrojenja nalazimo u tablicama za zasićenu i pregrijanu paru te u Mollierovom h-s dijagramu za vodenu paru. Koristeći entalpije iz pojedinog dijela postrojenja izračunati ćemo masene protoke u svakom dijelu postrojenja, toplinske bilance te izračunati potrošnju goriva s obzirom na vlažnost drvne biomase. Dijelovi kogeneracijskog postrojenja nadrvnu biomasu su:

- Generator pare nadrvnu biomasu
- Parno-turbinsko postrojenje s reguliranim oduzimanjem
- Izmjenjivač topline za potrošače i razdjelnik
- Kondenzator
- Spremnik napojne vode ili otplinjač
- Kemijska priprema vode
- Termičke pripreme vode
- Ložišta
- Spremištadrvne biomase

Na slici 4.1. predviđena je shema parnog kogeneracijskog postrojenja s reguliranim oduzimanjem pare.



Slika 4.1. Shema kogeneracijskog postrojenja

4.1. Parametri stanja fluida u postrojenju

Svi parametri su izvučeni iz toplinskih tablica za zasićenu i pregrijanu vodenu paru te iz Mollierovog h-s dijagrama za vodenu paru.

Točka 1 – Stanje pare na ulazu u turbinu:

- Tlak pregrijane pare na ulazu u turbinu:

$$p_1 = 30 \text{ bar} \quad (4.1.)$$

- Temperatura pregrijane pare na ulazu u turbinu:

$$\theta_1 = 300 \text{ }^{\circ}\text{C.} \quad (4.2.)$$

Iz tablica za pregrijanu paru se na temelju tlaka i temperature pare na izlazu iz generatora paru očitavaju entalpija i entropija pare.

- Entalpija pregrijane pare na ulazu u turbinu:

$$h_1 = 2988 \text{ kJ/kg} \quad (4.3.)$$

- Entropija pregrijane pare na ulazu u turbinu:

$$s_1 = 6,530 \text{ kJ/kgK.} \quad (4.4.)$$

Točka 2 – Stanje pare pri reguliranom oduzimanju pare

- Tlak pregrijane pare pri reguliranom oduzimanju:

$$p_2 = 16 \text{ bar.} \quad (4.5.)$$

Pod uvjetom da je $s_1 = s_2$ interpolacijom podataka iz toplinskih tablica za pregrijanu paru dobivamo temperaturu pregrijane pare pri reguliranom oduzimanju.

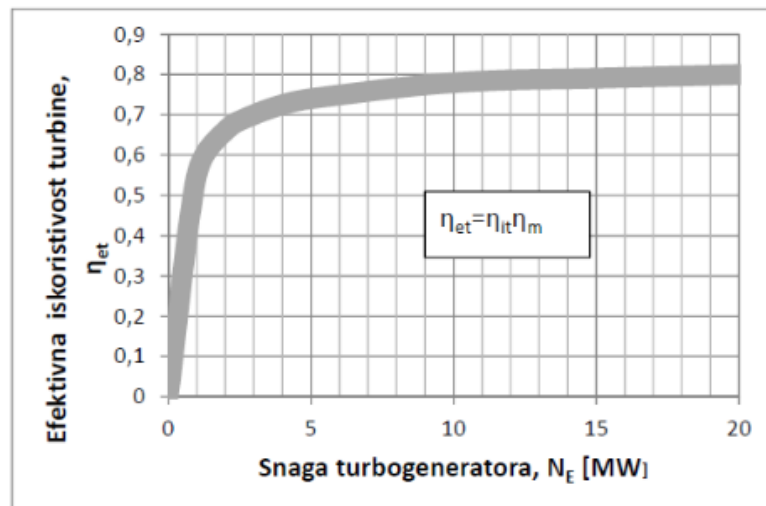
- Temperatura pregrijane pare pri reguliranom oduzimanju:

$$\theta_2 = 234,63 \text{ }^{\circ}\text{C.} \quad (4.6.)$$

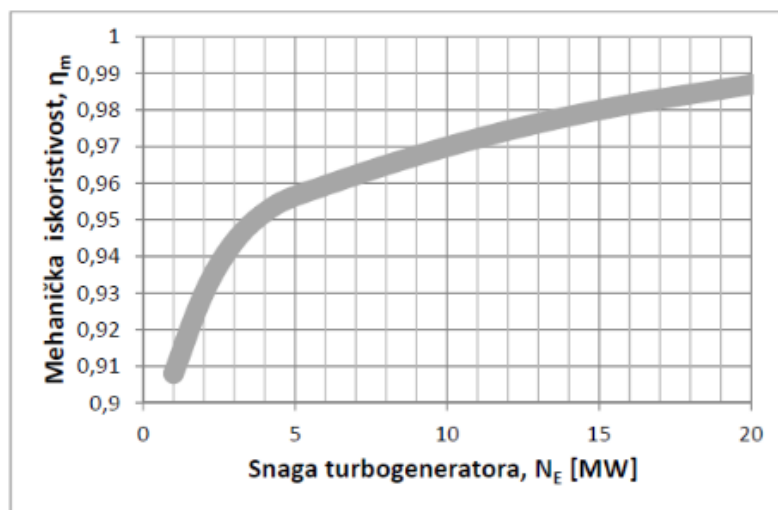
Entalpiju pregrijane pare pri reguliranom oduzimanju dobijemo iz poznatog tlaka pri kojem se para oduzima i poznate entropije iz točke 1. Iz tablica za pregrijanu paru očitana entalpija pri reguliranom oduzimanju pare za idealni slučaj iznosi:

$$h_{2i} = 2846,07 \text{ kJ/kg.} \quad (4.7.)$$

Kako u realnom slučaju imamo gubitke u turbini entalpija će biti veća jer moramo više energije utrošiti da bi savladali te gubitke. Porastom entalpije raste i entropija jer se pad ne odvija adijabatski, već politropski. Koeficijent unutarnje iskoristivosti turbine računa se prema izrazu (4.10.), a podaci za njegov izračun očitavaju se iz dijagrama sa slike 4.2. i iz dijagrama sa slike 4.3.



Slika 4.2. Efektivna korisnost turbine [4]



Slika 4.3. Mehanička iskoristivost turbine [4]

- Očitana efektivna iskoristivost za snagu od 3 MW:

$$\eta_{ef} = 0,7 \quad (4.8.)$$

- Očitana mehanička iskoristivost za snagu od 3 MW:

$$\eta_m = 0,94. \quad (4.9.)$$

Unutarnja iskoristivost turbine računa se prema izrazu (4.10.):

$$\eta_{i,t} = \frac{\eta_{ef}}{\eta_m} = 0,745. \quad (4.10.)$$

Stvarna entalpija pregrijane pare pri reguliranom oduzimanju računa se prema formuli (4.11.):

$$h_2 = h_1 - (h_1 - h_{2i}) \cdot \eta_{i,t} \quad (4.11.)$$

- Stvarna vrijednost entalpije u točki 2:

$$h_2 = 2882,26 \text{ kJ/kg} \quad (4.12.)$$

- Stvarna vrijednost entropije u točki 2:

$$s_2 = 6,60 \text{ kJ/kgK.} \quad (4.13.)$$

Točka 3 – Stanje pare na ulazu u kondenzator

Odarbani tlak u kondenzatoru iznosi 0,1 bar te ćemo pomoći njega i poznate entropije iz stanja dva odrediti stanje pare u kondenzatoru. Kao i u prethodnoj točki postoje gubici u turbini te pad entalpije nije adijabatski, nego politropski.

- Tlak vodene pare na ulazu u kondenzatoru:

$$p_3 = 0,1 \text{ bar} \quad (4.14.)$$

- Temperatura vodene pare na ulazu u kondenzator:

$$\theta_3 = 45,84^\circ\text{C.} \quad (4.15.)$$

Entalpiju pare na ulazu u kondenzator dobijemo iz poznatog tlaka koji vlada u kondenzatoru te poznate entropije iz točke 2. Vrijednosti entropija i entalpija se očitaju iz tablica za zasićenu vodenu paru te se prema formuli (4.16.) dobije entalpija u točki 3 za idealni slučaj.

$$h_{3i} = h'_3 + \frac{s_2 - s'_3}{s''_3 - s'_3} \cdot (h''_3 - h'_3) \quad (4.16.)$$

- Entalpija vrele kapljevine pri tlaku 0,1 bar:

$$h'_3 = 191,9 \text{ kJ/kg} \quad (4.17.)$$

- Entalpija zasićene vodene pare pri tlaku 0,1 bar:

$$h''_3 = 2584 \text{ kJ/kg} \quad (4.18.)$$

- Entropija vrele kapljevine pri tlaku 0,1 bar:

$$s'_3 = 0,6492 \text{ kJ/kgK} \quad (4.19.)$$

- Entropija zasićene vodene pare pri tlaku 0,1 bar:

$$s''_3 = 8,149 \text{ kJ/kgK.} \quad (4.20.)$$

Uvrštavanjem očitanih podataka u izraz (4.16.) dobije se entalpija vodene pare pri ulazu u kondenzator za idealni slučaj:

$$h_{3i} = 2089,79 \text{ kJ/kg.} \quad (4.21.)$$

Stvarna entalpija vodene pare pri ulazu u kondenzator računa se prema formuli (4.22.):

$$h_3 = h_2 - (h_2 - h_{3i}) \cdot \eta_{i,t} \quad (4.22.)$$

Uvrštavanjem vrijednosti (4.10.), (4.12.) i (4.21.) u izraz (4.22.) dobije se stvarna vrijednost entalpije u točki 3.

- Stvarna vrijednost entalpije u točki 3:

$$h_3 = 2291,87 \text{ kJ/kg} \quad (4.23.)$$

- Stvarna vrijednost entropije u točki 2:

$$s_3 = 7,23 \text{ kJ/kgK.} \quad (4.24.)$$

Točka 4 – Stanje kondenzata na izlazu iz kondenzatora

Para u kondenzatoru prelazi u zasićeno stanje kondenzacijom. Stanje kondenzata na izlazu iz kondenzatora dobije se pomoću tlaka iz prethodne točke.

- Tlak kondenzata na izlazu iz kondenzatora:

$$p_4 = 0,1 \text{ bar} \quad (4.25.)$$

- Temperatura kondenzata na izlazu iz kondenzatora:

$$\theta_4 = 45,84 \text{ } ^\circ\text{C} \quad (4.26.)$$

- Stvarna vrijednost entalpije u točki 3:

$$h_4 = h'_3 = 191,9 \text{ kJ/kg} \quad (4.27.)$$

- Stvarna vrijednost entropije u točki 2:

$$s_4 = s'_3 = 0,6492 \text{ kJ/kgK.} \quad (4.28.)$$

Točka 5 – Stanje kondenzata nakon pumpe kondenzata

Pumpa podiže tlak kondenzata na 1,4 bar. Ovaj tlak vlada u spremniku napojne vode i pritom dolazi do zanemarivog porasta temperature i entalpije kondenzata.

- Tlak kondenzata nakon pumpe kondenzata:

$$p_5 = 1,4 \text{ bar} \quad (4.29.)$$

- Temperatura kondenzata nakon pumpe kondenzata:

$$\theta_5 = 45,84 \text{ } ^\circ\text{C} \quad (4.30.)$$

- Entalpija kondenzata nakon pumpe kondenzata:

$$h_5 = 191,9 \text{ kJ/kg} \quad (4.31.)$$

- Entropija kondenzata nakon pumpe kondenzata:

$$s_5 = 0,6492 \text{ kJ/kgK.} \quad (4.32.)$$

Točka 6 – Stanje povratnog kondenzata od toplinskih potrošača

Pri temperaturi 70 °C i tlaku od 1,4 bar kondenzat se od toplinskih potrošača vraća u spremnik napojne vode. Pomoću tih podataka dobiva se entalpija kondenzata.

- Tlak povratnog kondenzata od toplinskih potrošača:

$$p_6 = 1,4 \text{ bar} \quad (4.33.)$$

- Temperatura povratnog kondenzata od toplinskih potrošača:

$$\theta_6 = 70 \text{ } ^\circ\text{C} \quad (4.34.)$$

- Entalpija povratnog kondenzata od toplinskih potrošača:

$$h_6 = 293 \text{ kJ/kg} \quad (4.35.)$$

- Entropija povratnog kondenzata od toplinskih potrošača:

$$s_6 = 0,9549 \text{ kJ/kgK.} \quad (4.36.)$$

Točka 7 – Stanje kemijski pripremljene vode na ulazu u otplinjač

Kemijski pripremljena voda temperature od 20°C i tlaka 1,4 bar, dovodi se u otplinjač iz spremnika pripremljene potrošne vode za nadoknadu gubitaka pare u procesu. Pomoću tih vrijednosti određuje se entalpija kemijske pripremljene vode.

- Tlak kondenzata nakon pumpe kondenzata:

$$p_{kp\text{v}} = 1,4 \text{ bar} \quad (4.37.)$$

- Temperatura kondenzata nakon pumpe kondenzata:

$$\theta_{kp\text{v}} = 20^{\circ}\text{C} \quad (4.38.)$$

- Entalpija kondenzata nakon pumpe kondenzata:

$$h_{kp\text{v}} = 83,90 \text{ kJ/kg} \quad (4.39.)$$

- Entropija kondenzata nakon pumpe kondenzata:

$$s_{kp\text{v}} = 0,2964 \text{ kJ/kgK.} \quad (4.40.)$$

Točka 2b' – Stanje kondenzata na izlazu iz regenerativnog zagrijivača vode

U regenerativnom zagrijivaču, pri tlaku od 16 bara, para se kondenzira dok ne dostigne liniju zasićenja. Pomoću očitane temperature i poznatog tlaka dobije se entalpija kondenzata u točki 2b'.

- Tlak kondenzata na izlazu iz regenerativnog zagrijivača vode:

$$p_{2b'} = 1,4 \text{ bar} \quad (4.41.)$$

- Temperatura kondenzata na izlazu iz regenerativnog zagrijivača vode:

$$\theta_{2b'} = 201,36^{\circ}\text{C} \quad (4.42.)$$

- Entalpija kondenzata na izlazu iz regenerativnog zagrijivača vode:

$$h_{2b'} = 858,3 \text{ kJ/kg} \quad (4.43.)$$

- Entropija kondenzata na izlazu iz regenerativnog zagrijivača vode:

$$s_{2b'} = 2,344 \text{ kJ/kgK.} \quad (4.44.)$$

Točka 2c – stanje pare na ulazu u otplinjač

Para koja je oduzeta iz visokotlačnog dijela turbine, prije ulaska u otplinjač, se prigušuje na tlak 1,4 bar. Entalpija se ne mijenja.

- Tlak pare na ulazu u otplinjač:

$$p_{2c} = 1,4 \text{ bar} \quad (4.45.)$$

- Temperatura pare na ulazu u otplinjač:

$$\theta_{2c} = 204,36 \text{ }^{\circ}\text{C} \quad (4.46.)$$

- Entalpija pare na ulazu u otplinjač:

$$h_{2c} = 2882,26 \text{ kJ/kg} \quad (4.47.)$$

- Entropija pare na ulazu u otplinjač:

$$s_{2c} = 6,60 \text{ kJ/kgK.} \quad (4.48.)$$

Točka 8 – Stanje napojne vode na izlazu iz otplinjača

U otplinjaču vlada tlak zasićenja od 1,4 bar te pomoću tog podatka dobivamo stanje vode na izlazu iz otplinjača

- Tlak napojne vode na izlazu iz otplinjača:

$$p_8 = 1,4 \text{ bar} \quad (4.49.)$$

- Temperatura napojne vode na izlazu iz otplinjača:

$$\theta_8 = 109,33 \text{ }^{\circ}\text{C} \quad (4.50.)$$

- Entalpija napojne vode na izlazu iz otplinjača:

$$h_8 = 458,5 \text{ kJ/kg} \quad (4.51.)$$

- Entropija napojne vode na izlazu iz otplinjača:

$$s_8 = 1,4109 \text{ kJ/kgK.} \quad (4.52.)$$

Točka 9 – Stanje napojne vode nakon pumpe napojne vode

Napojna pumpa podiže tlak napojne vode na 35 bara. Taj tlak je veći od tlaka na izlazu iz generatora pare iz razloga jer želimo savladati gubitke strujanja u generatoru pare i regenerativnom zagrijivaču vode. Pritom su se entalpija i temperatura napojne vode neznatno povećale.

- Tlak napojne vode nakon pumpe:

$$p_9 = 35 \text{ bar} \quad (4.53.)$$

- Temperatura napojne vode nakon pumpe:

$$\theta_9 = 110 \text{ } ^\circ\text{C} \quad (4.54.)$$

- Entalpija napojne vode nakon pumpe:

$$h_9 = 463,86 \text{ kJ/kg} \quad (4.55.)$$

- Entropija napojne vode nakon pumpe:

$$s_9 = 1,416 \text{ kJ/kgK.} \quad (4.56.)$$

Točka 10 – Stanje napojne vode na ulazu u generator pare

Regenerativni zagrijivač zagrijava napojnu vodu na 135 °C. Entalpija napojne vode dobije se pomoću poznatog tlaka i temperature.

- Tlak napojne vode na ulazu u generator pare:

$$p_{10} = 35 \text{ bar} \quad (4.57.)$$

- Temperatura napojne vode na ulazu u generator pare:

$$\theta_{10} = 135 \text{ } ^\circ\text{C} \quad (4.58.)$$

- Entalpija napojne vode na ulazu u generator pare:

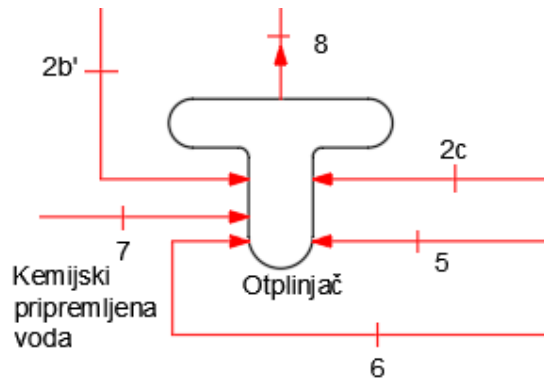
$$h_{10} = 569,63 \text{ kJ/kg} \quad (4.59.)$$

- Entropija napojne vode na ulazu u generator pare:

$$s_{10} = 1,682 \text{ kJ/kgK.} \quad (4.60.)$$

4.2. Proračun toplinske bilance

Količina vode koja ulazi u otplinjač mora biti jednaka količini vode koja izlazi iz spremnika.



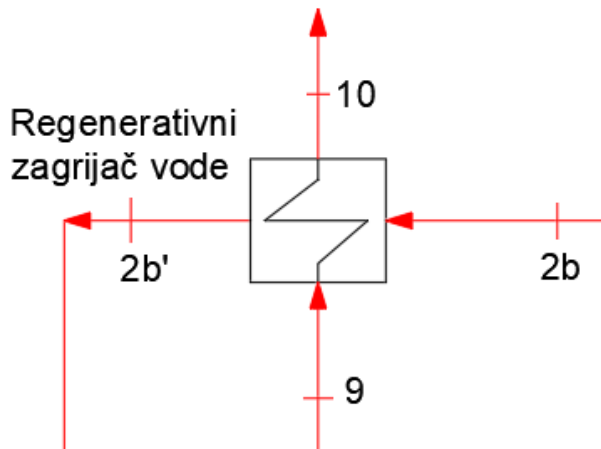
Slika 4.4. Toplinska bilanca otplinjača

Toplinska bilanca otplinjača računa se prema izrazu (4.61.)

$$D = m_{2b} + m_{2c} + m_5 + m_6 + m_7 \quad (4.61.)$$

Bilanca topline otplinjača računa se prema izrazu (4.62.)

$$D \cdot h_8 = m_{2b'} \cdot h_{2b'} + m_{2c} \cdot h_{2c} + m_5 \cdot h_5 + m_6 \cdot h_6 + m_7 \cdot h_7 \quad (4.62.)$$



Slika 4.5. Toplinska bilanca regenerativnog zagrijivača vode

Toplinska bilanca regenerativnog zagrijivača vode računa se prema izrazu (4.63.)

$$D \cdot (h_{10} - h_9) = m_{2b} \cdot (h_{2b} - h_{2b'}) \quad (4.63.)$$

$$m_{2b} = \frac{D \cdot (h_{10} - h_9)}{h_{2b} - h_{2b'}} \quad (4.64.)$$

Bilanca snage generatora električne energije računa se prema izrazu (4.65.)

$$\frac{P_e}{\eta_g \cdot \eta_m} = D \cdot (h_1 - h_3) - m_{od} \cdot (h_2 - h_3) \quad (4.65.)$$

Gdje se količina oduzete pare iz turbine računa prema izrazu (4.66.)

$$m_{od} = \frac{\phi_{ts}}{h_2 - h_{10}} \quad (4.66.)$$

Količina oduzete pare također se računa prema izrazu (4.67.)

$$m_{od} = m_{2a} + m_{2b} + m_{2c} \quad (4.67.)$$

Maseni protok pare koji se isporučuje potrošačima računa se prema izrazu (4.68.)

$$m_{2a} = \frac{\phi_{ts}}{h_2 - h_6} \quad (4.68.)$$

Količina kemijski pripremljene potrošne vode iznosi

$$m_7 = 1 \text{ t/h} \quad (4.69.)$$

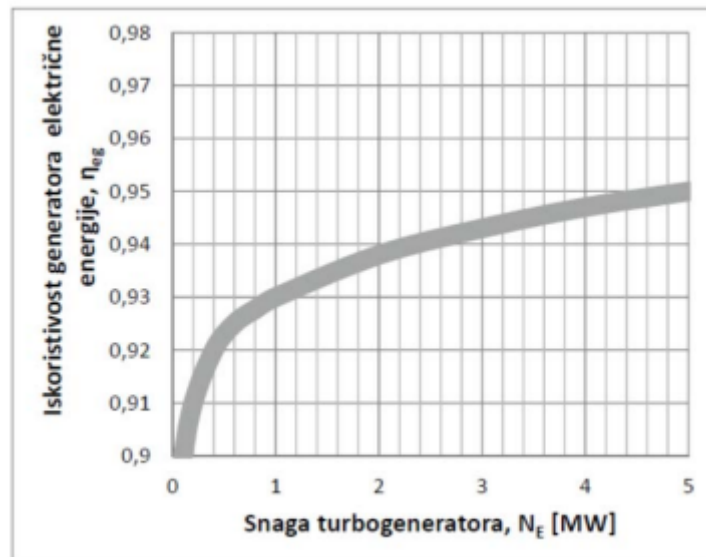
Količina kondenzata na povratku iz procesa računa se prema izrazu (4.70.)

$$m_6 = m_{2a} - 1 \text{ t/h} \quad (4.70.)$$

Snaga generatora električne energije iznosi

$$P_e = 3 \text{ MW} \quad (4.71.)$$

Na slici 4.6. iščitava se iz grafa iskoristivost generatora električne energije.



Slika 4.6. Iskoristivost električnog generatora [4]

$$\text{Iščitana vrijednost iznosi: } \eta_g = 0,943 \quad (4.72.)$$

U tablici 4.1. predviđeni su izračunati parametri toplinske bilance.

Tablica 4.1. Rezultati protočnih veličina

D	m_{od}	m_{2a}	m_{2b}	m_{2c}	m_5	m_6	m_7
kg/s	kg/s	kg/s	kg/s	kg/s	kg/s	kg/s	kg/s
8,53	4,32	3,86	0,45	0,01	4,21	3,58	0,28
t/h	t/h	t/h	t/h	t/h	t/h	t/h	t/h
30,71	15,55	13,90	1,62	0,04	15,16	12,90	1

4.3. Ukupna iskoristivost postrojenja

Ukupan stupanj iskoristivosti kogeneracijskog postrojenja računa se kao omjer ukupne proizvedene energije i ukupne dovedene energije izgaranja goriva prema izrazu (4.73.):

$$\eta_{uk} = \frac{P_e + \phi_{ts}}{Q_k} \quad (4.73.)$$

gdje je:

η_{uk} - ukupan stupanj iskoristivosti kogeneracijskog postrojenja

P_e – proizvedena električna energija, kW

ϕ_{ts} – proizvedena toplinska energija, kW

Q_k – energija izgaranja goriva, kW.

Energija izgaranja goriva računa se prema izrazu (4.74.):

$$Q_k = \frac{D \cdot (h_1 - h_{10})}{\eta_{gp}} \quad (4.74.)$$

gdje je:

η_{gp} – stupanj korisnosti generatora pare, usvajamo $\eta_{gp} = 0,86$.

Izračunata energija dobivena izgaranjem goriva iznosi:

$$Q_k = 23986,86 \text{ kW} \quad (4.75.)$$

Ukupan stupanj iskoristivosti kogeneracijskog postrojenja iznosi:

$$\eta_{uk} = 0,5420 = 54,20 \% \quad (4.76.)$$

5. PRORAČUN POTROŠNJE DRVNE BIOMASE

5.1. Kemijski sastav goriva

Biomasa je goriva tvar koja može biti životinjskog ili biljnog porijekla. Biomasa se uvrštava u obnovljive izvore energije jer se može prirodnim putem obnoviti nakon što se potroši. Ako se godišnje iskorištenje biomase podudara ili je manje od godišnjeg prirasta nove biomase, tada će emisija ugljikovog dioksida pri korištenju te biomase biti usporediva s emisijom ugljikovog dioksida tijekom fotosinteze biomase. Koristi se za proizvodnju toplinske energije za grijanje ili zagrijavanje vode te za proizvodnju električne energije, te se može primijeniti u industriji za proizvodnju kemikalija ili vlakana. Biomasa može biti prisutna kao čvrsta, tekuća ili plinovita tvar.

Drvna biomasa je vrsta biomase nastala gospodarenjem šuma te može biti ostaci i otpad iz drvne industrije pri piljenju, brušenju ili blanjanju. Drvna biomasa dolazi u četiri osnovna oblika:

- Briketi
- Peleti
- Sječka
- Cjepanice.

Drvna biomasa prema svojem kemijskom sastavu se najviše sastoji od ugljika C, kisika O₂ te vodika H₂, ali uspoređujući ih s fosilnim gorivima drvna biomasa sadrži vrlo malo dušika N₂ i sumpora S. Pošto u zadatku nije zadana vrsta drvne biomase, već samo lokacija kogeneracijskog postrojenja, kao gorivo uzet ćemo najrasprostranjeniju vrstu drva na području Gorskog kotara. U Gorskem kotaru pretežno prevladava crnogorična šuma te ćemo za proračun kemijskog sastava uzeti tu vrstu drveta.

Tablica 5.1. Različiti oblici drvne biomase i njihovi kemijski sastavi [5]

	C	H	O	N	K	S	Cl
	m.u.% (s.o.)						
Smreka (s korom)	49,8	6,3	43,2	0,13	0,13	0,015	0,005
Bukva (s korom)	47,9	6,2	43,3	0,22	0,22	0,015	0,006
Jablan KKO	47,5	6,2	44,1	0,42	0,35	0,031	0,004
Vrba KKO	47,1	6,1	44,2	0,54	0,26	0,045	0,004
Kora (Crnogorično drveće)	51,4	5,7	38,7	0,48	0,24	0,085	0,019
Uobičajene vrijednosti za materijale od neprerađenog drva Crnogorično drveće *	47–54	5,6–7,0	40–44	<0,1–0,5		<0,01–0,05	<0,01–0,03
Uobičajene vrijednosti za materijale od neprerađenog drva Listopadno drveće	48–52	5,9–6,5	41–45	<0,1–0,5		<0,01–0,05	<0,01–0,03
Uobičajene vrijednosti za materijale od neprerađenog drva*	51–56	5,9–6,5	36–43	0,3–1,2		0,02–0,20	<0,01–0,05
Uobičajene vrijednosti za materijale od neprerađenog drva Ostaci od pridobivanja drva*	50–53	5,9–6,3	40–44	0,3–0,8		0,01–0,08	<0,01–0,04
Uobičajene vrijednosti za materijale od neprerađenog drva Kulture brzorastućih nasada*	47–51	5,8–6,7	40–46	0,2–0,8		0,02–0,10	<0,01–0,05
Miskant	47,5	6,2	41,7	0,73	0,70	0,150	0,220
Pšenična slama	45,6	5,8	42,4	0,48	1,00	0,082	0,190
Tritikala (zrnje)	43,5	6,4	46,4	1,68	0,60	0,110	0,070
Pogača od uljane repice	51,5	7,4	30,1	4,97	1,60	0,550	0,019
<i>Fosilna goriva, radi usporedbe</i>							
Ugljen	72,5	5,6	11,0	1,30	–	0,940	< 0,1
Lignit	65,9	4,6	23,0	0,70	–	0,390	< 0,1
Lož ulje	85–86	11–13	1–4	–	–	–	–
Prirodni plin	75	25	–	–	–	–	–

Kemijski sastav drvne biomase od neprerađenog crnogoričnog drveća izvučen je iz tablice 5.1. prikazan je u tablici 5.2.

Tablica 5.2. Kemijski sastav drvne biomase

Kemijski element	c	o	h	n	s
Maseni udio	0,51	0,42	0,063	0,003	0,0003

5.2. Donja ogrjevna moć goriva

Količina topline koja se oslobađa izgaranjem određene količine goriva naziva se ogrjevna moć goriva. Ogrjevna moć se dijeli na gornju ogrjevnu moć i donju ogrjevnu moć. Donja ogrjevna moć je količina topline koja se oslobađa izgaranjem jedinice količine goriva kada se plinovi izgaranja ohlade na temperaturu višu od temperature kondenzacije vodene pare, pri čemu se vodena para kondenzira i ne oslobađa se njena toplina kondenzacije. Donja ogrjevna moć za kruta i tekuća goriva računa se prema izrazu (5.1.):

$$H_d = 33900 \cdot c + 117000 \cdot \left(h - \frac{o}{8} \right) + 10500 \cdot s - 2500 \cdot w \quad (5.1.)$$

Uvrštavanjem masenih udjela iz tablice 5.2. u izraz (5.1.) dobit ćemo ogrjevnu moć suhe drvne biomase:

$$H_{d0} = 18520,65 \text{ kJ/kg} \quad (5.2.)$$

Vлага ima veliki utjecaj na ogrjevnu moć drvne biomase. Ako je udio vlage veći tada će ogrjevna vrijednost drvne biomase biti manja, a udio vlage ćemo smanjiti sušenjem goriva. U proračunu ćemo uzeti različite udjele vlage te će se pokazati utjecaj vlage na količinu potrebnog goriva za kogeneracijsko postrojenje. Ogrjevna vrijednost za različite udjele vlage računa se prema izrazu (5.3.):

$$H_{dM} = \frac{H_{d0} \cdot (100 - M) - 2,44 \cdot M}{100} \quad (5.3.)$$

gdje je

M – udio vlage u gorivu

H_{dM} – donja ogrjevna moć ovisno o udjelu vlage, kJ/kg

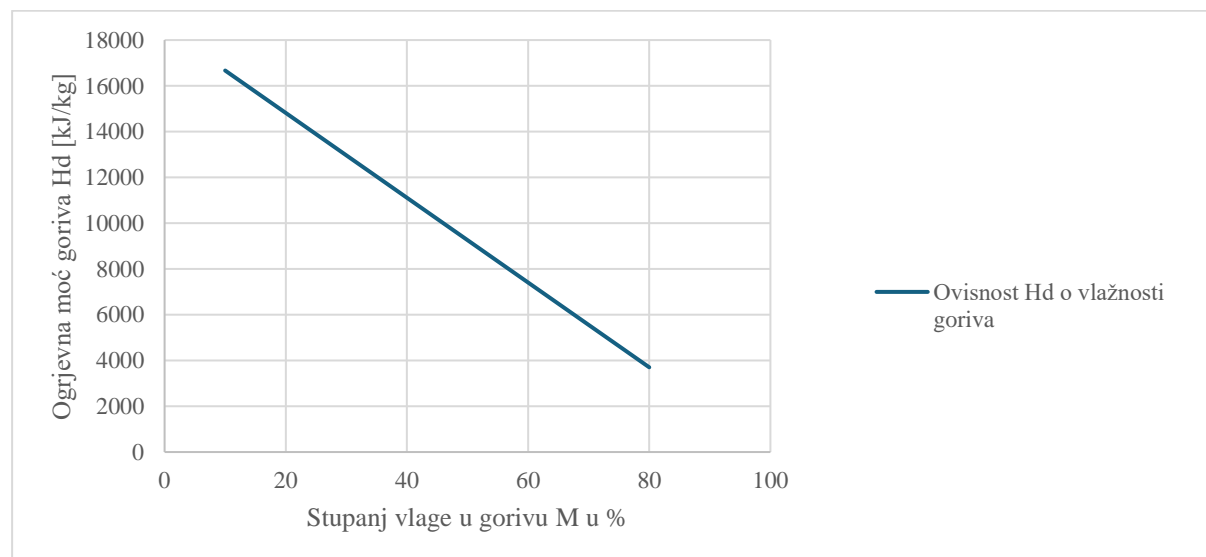
H_{d0} – donja ogrjevna moć suhe drvne biomase, kJ/kg.

U tablici 5.3. prikazane su vrijednosti donje ogrjevne moći goriva s obzirom na stupanj vlage u gorivu.

Tablica 5.3. Ovisnost donje ogrjevne vrijednosti o stupnju vlage u gorivu

Udio vlage u gorivu M	Donja ogrjevna moć goriva H_{dM} [kJ/kg]
50%	9259,11
40%	11111,41
30%	12963,72
20%	14816,03
10%	16668,34
0%	18520,65

Iz tablice je uočljivo da povećanjem postotka vlage u gorivu donja ogrjevna vrijednost pada što je detaljnije prikazano grafički na slici 5.1.



Slika 5.1. Grafički prikaz ovisnosti donje ogrjevne moći o vlažnosti goriva

5.3. Potrošnja goriva

Potrošnja goriva računa se kao omjer oslobođene energije izgaranja goriva u kotlu (4.75.) i donje ogrjevne moći prema izrazu (5.4.):

$$D_g = \frac{Q_k}{H_{dM}} \quad (5.4.)$$

gdje je

D_g – potrebna količina goriva za izgaranje, kg/s

Q_k – energija dobivena izgaranjem goriva, kW

H_{dM} – donja ogrjevna moć ovisna o vlažnosti goriva, kJ/kg.

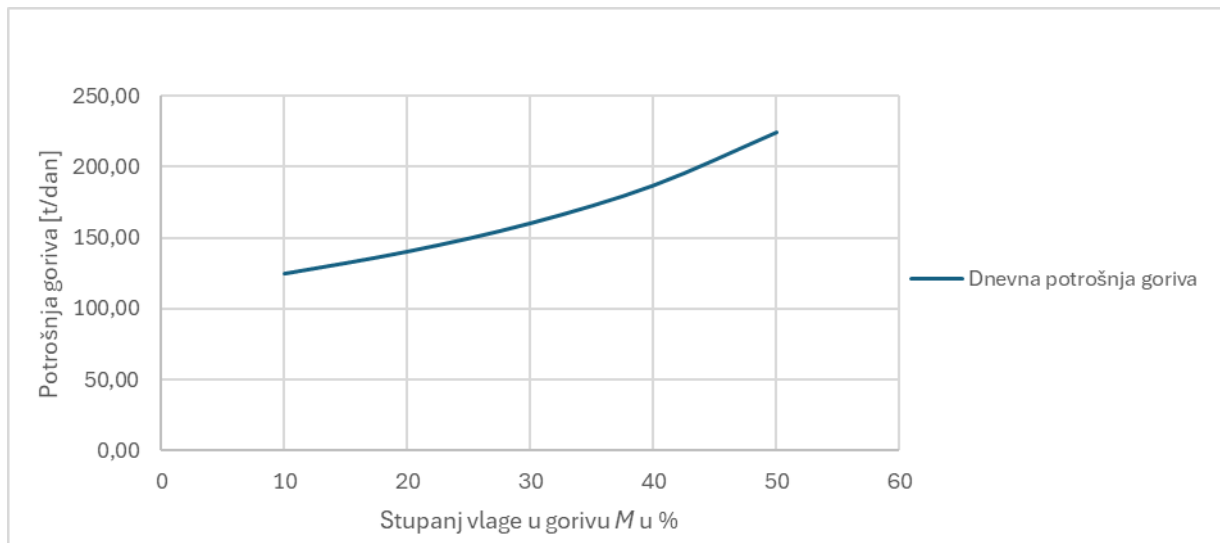
U tablici 5.4. prikazana je potrošnja goriva s obzirom na stupanj vlage u gorivu.

Tablica 5.4. Ovisnost potrošnje goriva o udjelu vlage

Stupanj vlažnosti goriva M	Potrošnja goriva D_g		
	kg/s	t/h	t/dan
50%	2,59	9,33	223,86
40%	2,16	7,77	186,52
30%	1,85	6,66	159,87
20%	1,62	5,84	140,04
10%	1,44	5,18	124,34
0%	1,30	4,66	111,90

Iz rezultata je vidljivo da se potrošnja goriva povećava s povećanjem stupnja vlažnosti goriva. Primjećuje se da je potrošnja goriva kod 50% udjela vlage veća za 56% u usporedbi s potrošnjom

goriva kod 10% udjela vlage. Na slici 5.2. detaljnije je predočena ovisnost potrošnje goriva o stupnju vlage drvne biomase.



Slika 5.2. Grafički prikaz potrošnje goriva ovisno o stupnju vlage u gorivu

5.4. Proračun emisija izgaranja drvne biomase

Potpunim izgaranjem drvne biomase stvaraju se emisije ugljičnog dioksida CO₂, dušičnih oksida NO_x, sumpornih oksida SO_x, klorovodika HCl te čestica u atmosferu. Energetsko iskorištenje drvne biomase se smatra CO₂ neutralnim zbog njegove obnovljivosti sadnjom drveća. Dušični oksidi nastaju izgaranjem dušika u gorivu. Sumporni oksidi nastaju izgaranjem sumpora u gorivu. Ti spojevi stvaraju kisele kiše te imaju štetan utjecaj na zdravlje ljudi. Drvna biomasa sadrži jako malu količinu klora Cl, što dovodi do stvaranja spojeva klorovodika HCl koji imaju korozivni utjecaj te štetno djeluju na zdravlje ljudi. Aerosoli ili lebdeći pepeo su čestice koje čine najštetniju emisiju nastalo izgaranjem drvne biomase.

Emisije izgaranja drvne biomase računaju se na sljedeći način:

$$m_{\text{CO}_2} = 3,666 \cdot c \quad (5.5.)$$

$$m_{\text{SO}_2} = 2 \cdot s \quad (5.6.)$$

$$m_{\text{NO}_x} = 100 \text{ kg/TJ} \cdot Q_k \cdot m_G \quad (5.7.)$$

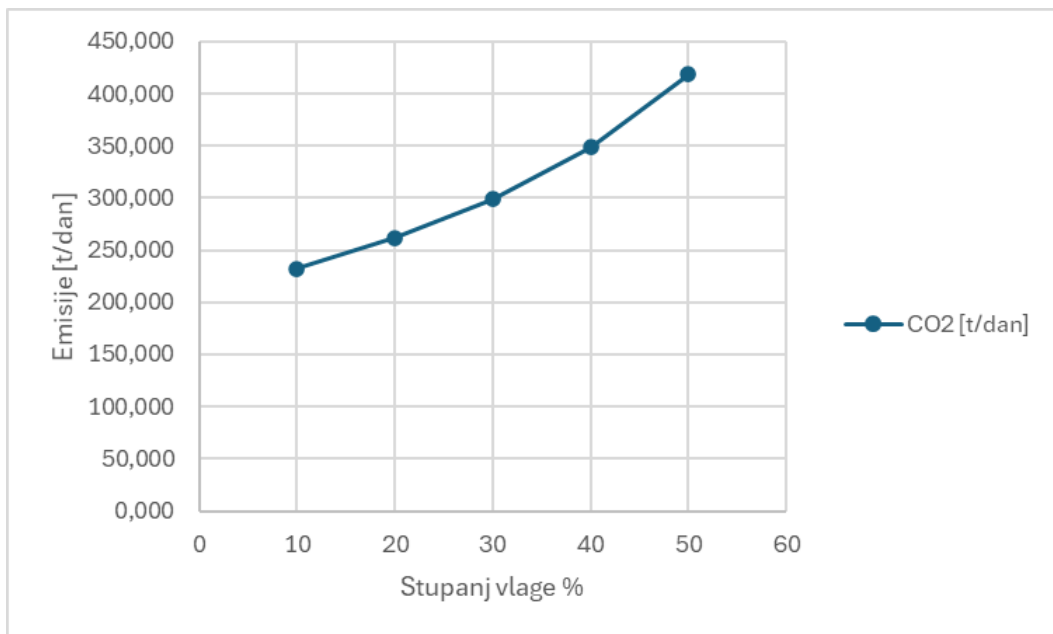
$$m_{\text{Cl}} = 0,5142 \cdot cl \cdot 0,6. \quad (5.8.)$$

U tablici 5.5. predviđeni su rezultati emisija plinova.

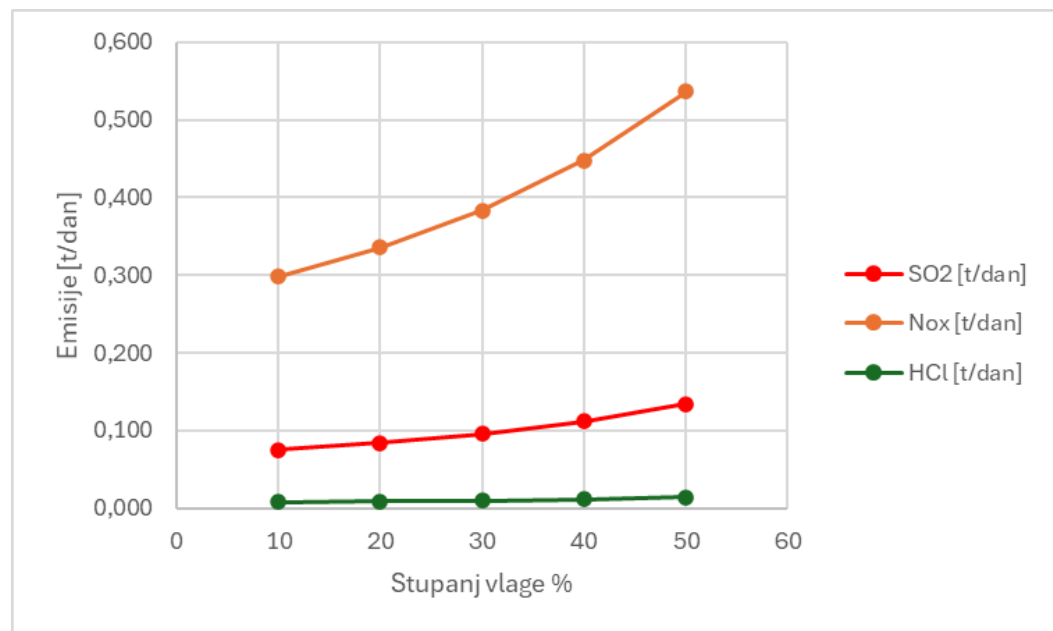
Tablica 5.5. Emisije plinova

Stupanj vlažnosti goriva M	CO ₂	SO ₂	NO _x	HCl
	t/dan	t/dan	t/dan	t/dan
50	418,486	0,134	0,537	0,014
40	348,723	0,112	0,447	0,012
30	298,896	0,096	0,383	0,010
20	261,834	0,084	0,336	0,009
10	232,465	0,075	0,298	0,008

Povećanjem vlage u gorivu povećava se potrošnja goriva te se time i povećava emisija plinova pri izgaranju. Time zaključujemo da će smanjenjem stupnja vlage u gorivu biti povoljnije za okoliš i ljude. Detaljniji prikaz ovisnosti emisija ugljičnog dioksida s obzirom na stupanj vlage u gorivu grafički je prikazano na slici 5.3. te su na slici 5.4. detaljnije predviđene ostale emisije plinova.



Slika 5.3. Grafički prikaz emisije CO₂

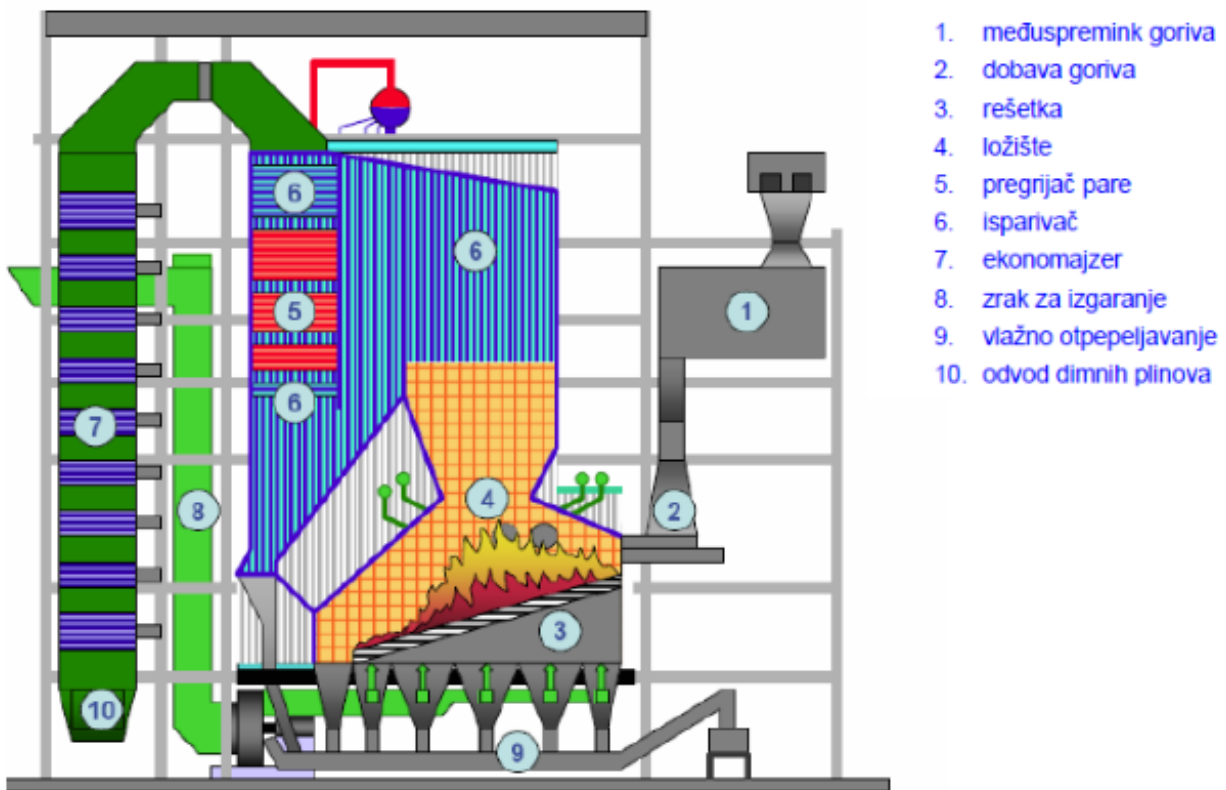


Slika 5.4. Grafički prikaz emisije SO₂, NO_x i HCl

6. IZBOR I OPIS GLAVNE OPREME

6.1. Generator pare

Energetski uređaji koji proizvode vodenu paru pod određenim tlakom i temperaturom, koja se koristi kao radni fluid za pogon parnih strojeva ili za prijenos toplinske energije nazivaju se generatori pare. Izgaranje u nepokretnom sloju u ložištima s rešetkom, izgaranje u mjehurićastom fluidiziranom sloju te izgaranje u cirkulirajućem fluidiziranom sloju načini su izgaranja koji se primjenjuju kod postrojenja za izgaranje biomase. Ložišta s izgaranjem na rešetki su pogodna za sagorijevanje različitih materijala poput sječke, piljevine, krupne i komadne biomase, kao i vlažnih goriva i goriva s visokim udjelom pepela. Ovisno o načinu unosa goriva u ložište, postoje rešetke s donjim i gornjim dovodom goriva. U ovom postrojenju koristi se generator pare izведен s gornjim dovodom goriva u ložište s nagnutom vibrirajućom rešetkom predviđen na slici 6.1.



Slika 6.1. Generator pare s nagnutom rešetkom [6]

Nagnuta rešetka je kontinuirano pomicna, hlađena vodom, opremljena automatskim nadzorom i regulacijom visine sloja goriva, kao i regulacijom brzine vrtnje ventilatora primarnog zraka. Generator pare s nagnutom rešetkom osigurava stabilno i učinkovito sagorijevanje, čime se smanjuje emisija ugljičnog monoksida i količina neizgorivih čestica u dimnim plinovima.

6.2. Parna turbina

Toplinski strojevi u kojima se toplinska energija, koja se nalazi u pari, prvo pretvara u kinetičku energiju, a potom u mehanički rad nazivaju se parne turbine. Prema tlaku na izlazu turbine se dijele na:

- kondenzacijske turbine - para izlazi u kondenzator u kojem vlada podtlak (vakum)
- protutlačne turbine - para izlazi pod pretlakom, koji je veći od atmosferskog tlaka, a dalje se koristi za pokretanje manjih (pomoćnih) turbina u energetskom sustavu ili za opskrbu toplinske energije drugim procesima
- kondenzacijske turbine s oduzimanjem pare - dio pare izlazi kroz regulirana ili neregulirana oduzimanja kako bi se zadovoljile potrebe raznih pomoćnih potrošača, dok se preostali dio ispušta u kondenzator
- protutlačne turbine s oduzimanjem pare - dio pare se izlučuje kroz regulirane ili neregulirane izlaze, a na kraju procesa ekspanzije, izlazi pod tlakom koji je veći od atmosferskog kako bi se dalje koristila.

Parna turbina koja se koristi u ovom postrojenju je kondenzacijska turbina s jednim reguliranim oduzimanjem pare za potrebe toplinskih potrošača. Turbina je sastavljena od visokotlačne turbine i niskotlačne turbine. Pregrijana para tlaka $p_1 = 30$ bar i temperature $\theta_1 = 300$ °C ulazi u visokotlačni dio turbine te ekspandira do tlaka 16 bara, a dio pare se odvaja za toplinske potrošače i zagrijavanje napojne vode. Preostala para, u niskotlačnom dijelu turbine, ekspandira do tlaka 0,1 bar. Lopatice su pokretane ekspanzijom pare te prenose snagu na vratilo turbine. Snaga s vratila parne turbine prenosi se do generatora električne energije koji daje izlaznu snagu električne energije $P_e = 3$ MW.

6.3. Kondenzator

Kondenzatori su površinski izmjenjivači topline za pretvaranje vodene pare u tekućinu putem procesa kondenzacije. Rade na atmosferskom tlaku, ali obično funkcioniraju na blagom podtlaku ili vakumu kako bi entalpijski pad na turbini bio što veći. Tlak koji vlada u kondenzatoru je između 0,07 i 0,1 bar. U ovom proračunu odabran je tlak od 0,1 bar.

Proračunom kondenzatora određuje se površina cijevi za hlađenje koja je potrebna za prijenos svih toplina kondenzacije izlazne vodene pare iz turbine. Podaci koji su potrebni za proračun su temperatura vode koja ulazi u kondenzator, koja varira između 25 i 28 °C za kružne sustave s rashladnim tornjevima u umjerenim područjima. Usvaja se temperatura:

$$t_{w1} = 26 \text{ } ^\circ\text{C} \quad (6.1.)$$

Porast temperature rashladne vode varira između 8 i 12 °C, te se uzima prosječna vrijednost od 10 °C. Temperatura izlazne vode iznosi:

$$t_{w2} = 36 \text{ } ^\circ\text{C} \quad (6.2.)$$

Standardne dimenzije cijevi kondenzatora su Ø23/21 mm ili Ø25/23 mm. Za ovaj proračun uzima se standardna veličina cijevi Ø23/21 mm. Za slatke rashladne vode brzina strujanja kroz cijevi varira između 1,5 i 2,5 m/s. Usvojena je vrijednost:

$$w_v = 2 \text{ m/s} \quad (6.3.)$$

Ostale potrebne vrijednosti za proračun su:

$$m_3 = 4,21 \text{ kg/s} \quad (6.4.)$$

$$h_3 = 2291,87 \text{ kJ/kg} \quad (6.5.)$$

$$h_4 = 191,9 \text{ kJ/kg} \quad (6.6.)$$

$$c_w = 4,187 \text{ kJ/kgK.} \quad (6.7.)$$

Rashladna voda prima količinu topline pri kondenzaciji, a para ju predaje prema izrazu (6.8.)

$$Q = m_3 \cdot (h_3 - h_4) \quad (6.8.)$$

$$Q = 8840,87 \text{ kW.}$$

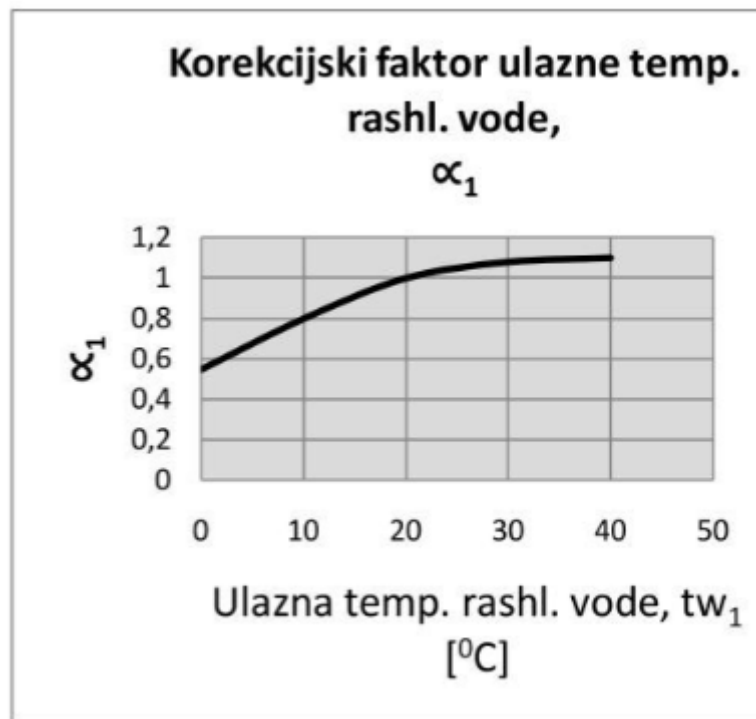
Nadalje računa se karakteristična veličina kondenzatora odnosno specifično opterećenje rashladne vode. Izraz se dobiva omjerom količine kondenzirane pare u jedinici vremena i rashladne površine kondenzatora, a vrijednosti se kreću između 0,01 i 0,02 kg/m²s. Vrijednost koju usvajamo je:

$$d_k = 0,015 \text{ kg/m}^2\text{s} = 54 \text{ kg/m}^2\text{h.} \quad (6.9.)$$

Koeficijent prolaza topline određuje se prema izrazu (6.10.)

$$k = \alpha_1 \cdot \alpha_2 \cdot b \cdot k'. \quad (6.10.)$$

Iz dijagrama sa slike 6.2. očitava se korekcijski faktor ulazne temperature rashladne vode.

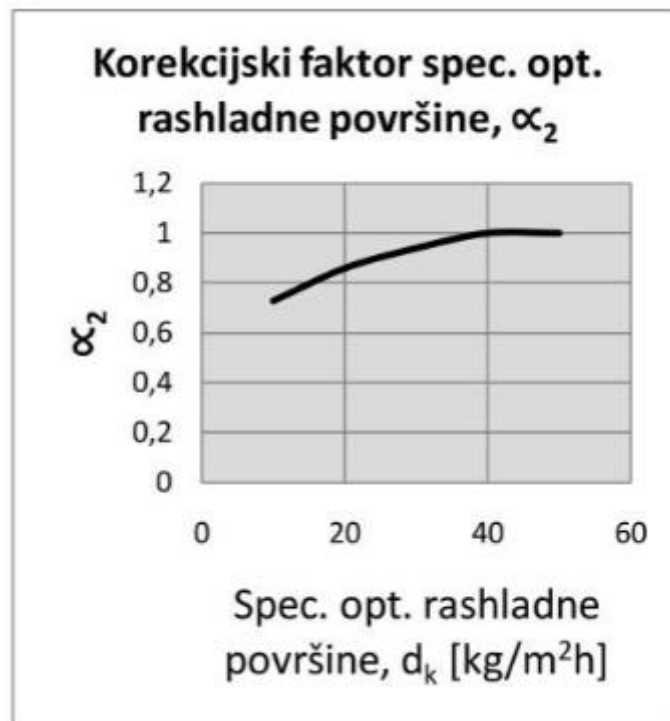


Slika 6.2. Dijagram korekcijskog faktora ulazne temperature rashladne vode [9]

Očitana vrijednost za $t_{w1} = 26 \text{ } ^\circ\text{C}$ iznosi: $\alpha_1 = 1,06$.

(6.11.)

Iz dijagrama sa slike 6.3. očitava se korekcijski faktor specifičnog opterećenja rashladne vode.

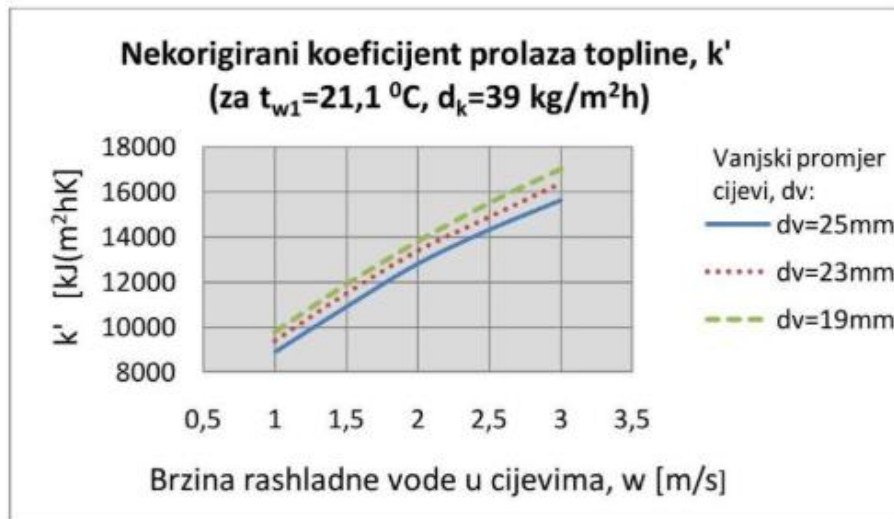


Slika 6.3. Korekcijski faktor specifičnog opterećenja rashladne vode [9]

Očitana vrijednost za $d_k = 54 \text{ kg/m}^2\text{h}$ iznosi: $\alpha_2 = 1$. (6.12.)

Sljedeće je potrebno odrediti koeficijent onečišćenja rashladne površine čija vrijednost varira od 0,75 do 0,95. Odabrana je vrijednost $b = 0,85$. (6.13.)

Iz dijagrama sa slike 6.4. očitava se nekorigirani koeficijent prolaza.



Slika 6.4. Nekorigirani koeficijent prolaza topline [9]

Očitana vrijednost za $d_v = 23 \text{ mm}$ i $w_v = 2 \text{ m/s}$ iznosi $k' = 13500 \text{ kJ/m}^2\text{hK} = 3,75 \text{ kW/m}^2\text{K}$. (6.14.)

Uvrštavanjem (6.11.), (6.12.), (6.13.) i (6.14.) u izraz (6.10.) dolazi se do koeficijenta prolaza topline u kondenzatoru:

$$k = 3,37875 \text{ kW/m}^2\text{K}. \quad (6.15.)$$

Srednja razlika temperature vodene pare (4.15.) i rashladne vode računa se prema izrazu (6.16.).

$$\Delta t = \theta_3 - \frac{t_{w1} + t_{w2}}{2} \quad (6.16.)$$

$$\Delta t = 14,84 \text{ } ^\circ\text{C}.$$

Prema izrazu (6.17.) dobiva se potrebna rashladna površina kondenzatora.

$$A_k = \frac{Q}{k \cdot \Delta t} \quad (6.17.)$$

$$A_k = 176,32 \text{ m}^2.$$

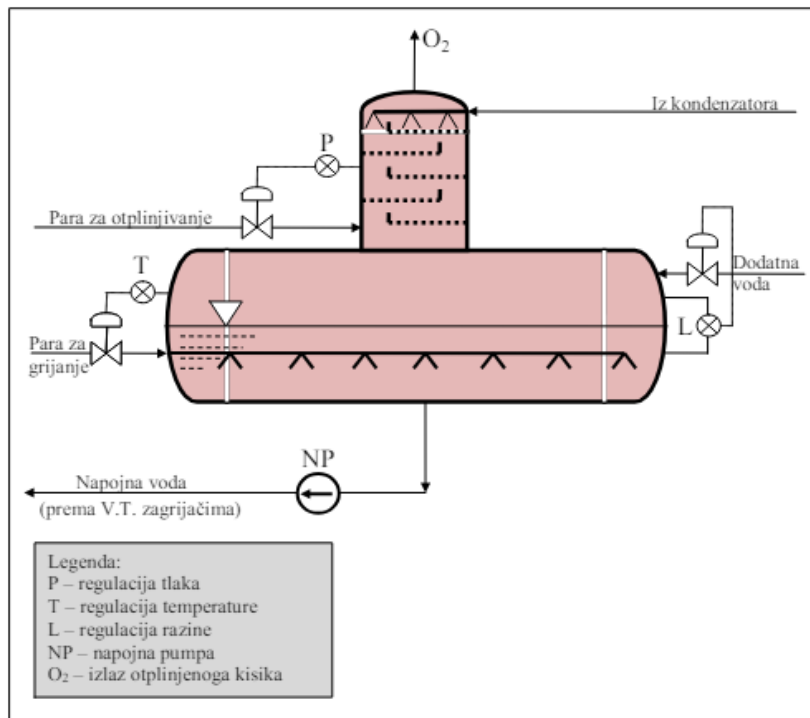
Usvaja se vrijednost površine: $A_k = 180 \text{ m}^2$

6.4. Izmjenjivač topline za potrošnju

Izmjenjivač topline, koji se koristi u ovom postrojenju, odvaja fluide različitih temperatura pomoću krute stjenke te omogućuje prijenos topline putem konvekcije s površinom stjenke i provođenja kroz stjenku. Dijele se na cijevne i pločaste, a ovo postrojenje koristi cijevni izmjenjivač topline za potrošnju. Kroz cijevi prolazi oduzeta pregrijana para tlaka $p_2 = 16$ bar i temperature $\theta_2 = 234,63$ °C te predaje vodi toplinu za daljnje korištenje. Para koja je oduzeta potpuno kondenzira pri konstantnom tlaku do temperature $\theta_6 = 70$ °C. Pri oduzimanju para predaje toplinski tok $\Phi_{ts} = 10$ MW toplinskim potrošačima zagrijavajući vodu iz vrelovoda. Kondenzirana vodena para se pumpama vraća nazad u otplinjač.

6.5. Otplinjač

Postupak termičke obrade napojne vode s primarnim ciljem uklanjanja otopljenog kisika radi sprječavanja njegovog korozivnog djelovanja u sustavu za proizvodnju pare naziva se otplnjivanje. Taj proces se obavlja u otplinjačima, shematski predviđen na slici 6.5.



Slika 6.5. Shema otplinjača [8]

Porastom temperature vode dolazi do smanjenja topivosti plinova u vodi, a ta topivost dostiže minimum pri temperaturi vrelišta vode. U otpinjaču, voda se zagrijava do temperature isparavanja koja odgovara tlaku u otpinjaču putem direktnog miješanja s parom u protustrujnom strujanju te kroz proces raspršivanja.

7. ZAKLJUČAK

Kogeneracijska postrojenja općenito predstavljaju učinkovito rješenje u ostvarivanju održivog energetskog sustava zbog njihove mogućnosti istovremene proizvodnje električne i toplinske energije, što rezultira povećanom ukupnom iskoristivošću postrojenja i smanjenja štetnih plinova. Kogeneracijska postrojenja zahtijevaju visoka početna ulaganja, ali dugoročno gledano ovakva postrojenja se više isplate.

Izgradnjom kogeneracijskog postrojenja nadrvnu biomasu na području Gorskog kotara predstavlja idealno rješenje zbog dostupnih prirodnih resursa i razvijene drvne industrije na tom području te je na području Gorskog kotara visoka potražnja za toplinom i električnom energijom što čini izgradnju ovakvog postrojenja još isplativijim. Korištenjem ostataka iz drvne industrije kao gorivo za pogon postrojenja je puno bolja alternativa od fosilnih goriva zbog manje štetnog djelovanja na okoliš i potrebe uvoza fosilnih goriva. Izgradnja ovakvog postrojenja također utječe na gospodarski razvoj na tom području otvaranjem novih radnih mesta.

Zaključak je sljedeći, izgradnja parnog kogeneracijskog postrojenja nadrvnu biomasu na području Gorskog kotara zbog idealnog položaja te zahtjevima ovakvog područja za istovremenom potrošnjom električne i toplinske energije predstavlja optimalno dugoročno održivo ulaganje.

LITERATURA

- [1] Glažar V. , Bonefačić I.: „Kogeneracijski energetski sustavi“ , predavanja, Tehnički fakultet Rijeka, Rijeka, 2021.
- [2] Borovec B., Senčić T.: „Usporedba troškova drvoprerađivačkog pogona sa kogeneracijskim energetskim sustavom nadrvnu sječku i klasičnog drvoprerađivačkog pogona“, stručni članak, Tehnički fakultet Rijeka, 2017.
- [3] Skupina autora: Toplinske tablice, Zagreb, 2010.
- [4] Prelec Z.: „Termoenergetska postrojenja“ , predavanja, Tehnički fakultet Rijeka, Rijeka
- [5] Internet stranica: www.regea.org , „Priručnik o gorivima iz drvne biomase“, 2012.
- [6] StandardKessel, Company presentation, s interneta, https://www.standardkessel-baumgarte.com/fileadmin/user_upload/Range_of_products_and_services_112018.pdf, 2008.
- [7] Mrzljak V., Senčić T.: „Parne turbine“ , predavanja, Tehnički fakultet Rijeka, Rijeka
- [8] Prelec Z: „Energetska postrojenja (Regenerativni zagrijivači napojne vode)“ , predavanja, Tehnički fakultet Rijeka, Rijeka
- [9] Prelec Z: „Energetska postrojenja (Kondenzatori pare) “ , predavanja, Tehnički fakultet Rijeka, Rijeka

POPIS SLIKA

Slika 2.1. Usporedba odvojene proizvodnje energije i kogeneracije [1].....	2
Slika 2.2. Shema kogeneracijskog sustava s kondenzacijskom turbinom uz oduzimanje pare [1].	4
Slika 4.1. Shema kogeneracijskog postrojenja.....	7
Slika 4.2. Efektivna korisnost turbine [4]	9
Slika 4.3. Mehanička iskoristivost turbine [4]	9
Slika 4.4. Toplinska bilanca otplinjača.....	16
Slika 4.5. Toplinska bilanca regenerativnog zagrijivača vode	16
Slika 4.6. Iskoristivost električnog generatora [4]	18
Slika 5.1. Grafički prikaz ovisnosti donje ogrjevne moći o vlažnosti goriva	23
Slika 5.2. Grafički prikaz potrošnje goriva ovisno o stupnju vlage u gorivu.....	25
Slika 5.3. Grafički prikaz emisije CO ₂	27
Slika 5.4. Grafički prikaz emisije SO ₂ , NO _x i HCl	27
Slika 6.1. Generator pare s nagnutom rešetkom [6]	28
Slika 6.2. Dijagram korekcijskog faktora ulazne temperature rashladne vode [9]	31
Slika 6.3. Korekcijski faktor specifičnog opterećenja rashladne vode [9].....	32
Slika 6.4. Nekorigirani koeficijent prolaza topline [9].....	33
Slika 6.5. Shema otplinjača [8]	34

POPIS TABLICA

Tablica 4.1. Rezultati protočnih veličina.....	18
Tablica 5.1. Različiti oblici drvne biomase i njihovi kemijski sastavi [5]	21
Tablica 5.2. Kemijski sastav drvne biomase	21
Tablica 5.3. Ovisnost donje ogrjevne vrijednosti o stupnju vlage u gorivu	23
Tablica 5.4. Ovisnost potrošnje goriva o udjelu vlage	24
Tablica 5.5. Emisije plinova.....	26

POPIS OZNAKA

Oznaka	Mjerna jedinica	Značenje
A_k	m^2	Rashladna površina kondenzatora
b	-	Koeficijent onečišćenja rashladne površine
c	-	Maseni udio ugljika
c_w	kJ/kgK	Specifična toplina vode
D	kg/s	Količina proizvedene pare u generatoru pare
d_k	$\text{kg/m}^2\text{s}$	Specifično opterećenje rashladne vode
H_d	kJ/kg	Donja ogrjevna moć goriva
H_{d0}	kJ/kg	Donja ogrjevna moć goriva s udjelom vlage od 0%
H_{dM}	kJ/kg	Donja ogrjevna moć goriva ovisno o udjelu vlage
h	-	Maseni udio vodika
h_1	kJ/kg	Entalpija pregrijane pare na izlazu iz generatora pare
h_2	kJ/kg	Stvarna entalpija pregrijane pare pri reguliranom oduzimanju
h'_2	kJ/kg	Entalpija vrele kapljevine pri reguliranom oduzimanju
h''_2	kJ/kg	Entalpija suhozasićene vodene pare pri reguliranom oduzimanju
$h_{2b'}$	kJ/kg	Entalpija kondenzata na izlazu iz

		regenerativnog zagrijala vode
h_{2c}	kJ/kg	Entalpija oduzete pare na ulazu u otplinjač
h_{2i}	kJ/kg	Entalpija pregrijane pare pri reguliranom oduzimanju
h_3	kJ/kg	Stvarna entalpija vodene pare pri ulazu u kondenzator
h'_3	kJ/kg	Entalpija vrele kapljevine pri ulazu u kondenzator
h''_3	kJ/kg	Entalpija suhozasićene vodene pare pri ulazu u kondenzator
h_{3i}	kJ/kg	Entalpija pregrijane pare pri ulazu u kondenzator
h_4	kJ/kg	Entalpija kondenzata na izlazu iz kondenzatora
h_5	kJ/kg	Entalpija kondenzata nakon pumpe kondenzata
h_6	kJ/kg	Entalpija povratnog kondenzata od toplinskih potrošača
h_8	kJ/kg	Entalpija napojne vode na izlazu iz otplinjača
h_9	kJ/kg	Entalpija napojne vode nakon pumpe
h_{10}	kJ/kg	Entalpija napojne vode na ulazu u generator pare
h_{kpV}	kJ/kg	Entalpija kemijski pripremljene vode
k	kW/m ² K	Koeficijent prolaza topline
k'	kW/m ² K	Nekorigirani koeficijent prolaza topline

M	-	Udio vlage u gorivu
m_{2b}	kg/s	Količina pare za regenerativno zagrijavanje
m_{2c}	kg/s	Količina pare na ulazu u otplinjač
m_3	kg/s	Količina izlazne pare iz turbine
m_5	kg/s	Količina pare na izlazu iz kondenzatora
m_6	kg/s	Količina kondenzata na povratku iz procesa
m_7	kg/s	Količina kemijski pripremljene vode dovedene u otplinjač
m_{od}	kg/s	Količina oduzete pare iz turbine
m_{Cl}	kg/s	Emisija Cl po kilogramu goriva
m_{CO2}	kg/s	Emisija CO ₂ po kilogramu goriva
m_{NOx}	kg/s	Emisija NO _x po kilogramu goriva
m_{SO2}	kg/s	Emisija SO ₂ po kilogramu goriva
n	-	Maseni udio dušika
o	-	Maseni udio kisika
P_e	MW	Električna snaga
p_1	bar	Tlak pregrijane pare na izlazu iz generatora pare
p_2	bar	Tlak pregrijane pare pri reguliranom oduzimanju
$p_{2b'}$	bar	Tlak kondenzata na izlazu iz regenerativnog zagrijača vode
p_{2c}	bar	Tlak oduzete pare na ulazu u otplinjač
p_3	bar	Tlak u kondenzatoru

p_4	bar	Tlak na izlazu iz kondenzatora
p_5	bar	Tlak na kondenzata nakon pumpe kondenzata
p_6	bar	Tlak povratnog kondenzata od toplinskih potrošača
p_8	bar	Tlak napojne vode na izlazu iz otplinjača
p_9	bar	Tlak napojne vode nakon pumpe
p_{10}	bar	Tlak napojne vode na ulazu u generator pare
p_{kpv}	bar	Tlak kemijski pripremljene vode
Q_k	MW	Energija dobivena izgaranjem goriva
s	-	Maseni udio sumpora
s_1	kJ/kgK	Entropija pregrijane pare na izlazu iz generatora pare
s_2	kJ/kgK	Entropija pregrijane pare pri reguliranom oduzimanju
s'_2	kJ/kgK	Entropija vrele kapljevine pri reguliranom oduzimanju
s''_2	kJ/kgK	Entropija suhozasićene vodene pare pri reguliranom oduzimanju
s_{2b}	kJ/kgK	Entropija kondenzata na izlazu iz regenerativnog zagrijjača vode
s_{2c}	kJ/kgK	Entropija oduzete pare na ulazu u otplinjač
s_3	kJ/kgK	Entropija vodene pare pri ulazu u kondenzator

s'_3	kJ/kgK	Entropija vrele kapljivine pri ulazu u kondenzator
s''_3	kJ/kgK	Entropija suhozasićene vodene pare pri ulazu u kondenzator
s_4	kJ/kgK	Entropija kondenzata na izlazu iz kondenzatora
s_5	kJ/kgK	Entropija kondenzata nakon pumpe kondenzata
s_6	kJ/kgK	Entropija povratnog kondenzata od toplinskih potrošača
s_8	kJ/kgK	Entropija napojne vode na izlazu iz otplinjača
s_9	kJ/kgK	Entropija napojne vode nakon pumpe
s_{10}	kJ/kgK	Entropija napojne vode na ulazu u generator pare
s_{kpV}	kJ/kgK	Entropija kemijski pripremljene vode
t_{w1}	°C	Temperatura rashladne vode na ulazu u kondenzator
t_{w2}	°C	Temperatura rashladne vode na izlazu iz kondenzatora
Δt	°C	Srednja razlika temperature pare i rashladne vode
Q	kW	Toplina predana rashladnoj vodi
Q_k	kW	Energija dobivena izgaranjem goriva
w	-	Maseni udio vlage
w_v	m/s	Brzina strujanja vode u cijevima kondenzatora

α_1	-	Korekcijski faktor ulazne temperature rashladne vode
α_2	-	Korekcijski faktor specifičnog opterećenja rashladne vode
η_{ef}	-	Efektivna iskoristivost turbine
η_g	-	Iskoristivost generatora električne energije
η_{gp}	-	Iskoristivost generatora pare
$\eta_{i,t}$	-	Unutarnja iskoristivost turbine
η_m	-	Mehanička iskoristivost turbine
η_{uk}	-	Ukupna iskoristivost postrojenja
θ_1	°C	Temperatura pregrijane pare na izlazu iz generatora pare
θ_2	°C	Temperatura pregrijane pare pri reguliranom oduzimanju
$\theta_{2b'}$	°C	Temperatura kondenzata na izlazu iz regenerativnog zagrijivača vode
θ_{2c}	°C	Temperatura oduzete pare na ulazu u otplinjač
θ_3	°C	Temperatura pregrijane pare u kondenzatoru
θ_4	°C	Temperatura kondenzata na izlazu iz kondenzatora
θ_5	°C	Temperatura kondenzata nakon pumpe kondenzata
θ_6	°C	Temperatura povratnog kondenzata od toplinskih potrošača

θ_8	°C	Temperatura napojne vode na izlazu iz otplinjača
θ_9	°C	Temperatura napojne vode nakon pumpe
θ_{10}	°C	Temperatura napojne vode na ulazu u generator pare
θ_{kpv}	°C	Temperatura kemijski pripremljene vode
Φ_{ts}	MW	Toplinska snaga

SAŽETAK

Ovim završnim radom razvijeno je i izračunato tehničko rješenje parnog turbinskog kogeneracijskog postrojenja koje koristidrvnu biomasu kao gorivo, s posebnim fokusom na područje Gorskog kotara. Kogeneracijsko energetsko postrojenje mora biti dizajnirano tako da osigura proizvodnju električne energije snage 3 MW i toplinske energije snage 10 MW za potrebe toplinskih potrošača. Kogeneracijsko postrojenje zamišljeno je s kondenzacijskom turbinom s jednim reguliranim oduzimanjem pare. Izrađena je toplinska shema postrojenja, izračunata je energetska bilanca te potrošnja drvne biomase za zadane parametre. Na posljetku izračunata je, odabrana i opisana glavna oprema postrojenja.

Ključne riječi: para, kogeneracijsko postrojenje, potrošnja goriva,drvna biomasa, oprema postrojenja.

SUMMARY

This final paper presents the development and calculation of a technical solution for a steam turbine cogeneration plant utilizing wood biomass, tailored specifically for the Gorski kotar region. The cogeneration power plant must ensure the production of electrical power with a capacity of 3 MW and thermal power with a capacity of 10 MW for the needs of heat consumers. The cogeneration plant is concieved with a steam condensing turbine with one regulated steam seizure. A thermal scheme of the plant has been developed, an energy balance has been calculated, and the consumption of wood biomass for given parameters has been determined. Lastly, the primary equipment of the facility has been chosen, evaluated, and outlined.

Keywords: steam, cogeneration plant, fuel consumption, wood biomass, plant equipment.